

## جذب رنگ‌های اریتروزین و کارموزین قرمز از محلول‌های آبی با جاذب نانو اکسید مس: بررسی سینتیکی و ترمودینامیکی

محمد کاظم محمدی

مرکز تحقیقات مهندسی سطح پیشرفته و نانومواد، گروه شیمی، واحد اهواز، دانشگاه آزاد اسلامی، اهواز، ایران

### Adsorption of erythrosine and carmosine red dyes from aqueous solutions with nano copper oxide adsorbent: kinetic and thermodynamic study

Mohammad Kazem Mohammadi

Advanced Surface Engineering and Nano Materials Research Center, Department of Chemistry, Ahvaz Branch, Islamic Azad University, Ahvaz, Iran

#### Abstract

In this study, copper oxide has been successfully used as a good and inexpensive adsorbent to remove erythrosine and carmosine red dyes from several aqueous solutions. The effect of various parameters such as pH, dye concentration, adsorbent amount, contact time and temperature on the removal process was investigated. The isothermal adsorption data can be interpreted with the Langmuir and Freundlich isotherm models. Values higher than 43.103 K and 10.162 mg / L for erythrosine and red carmosine indicate that copper oxide has a greater affinity for dyes than other adsorbents.

**Keywords:** Copper nano oxide, erythrosine, red carmosine, adsorption

Received: 2022/01/22

Accepted: 2022/05/04

#### چکیده

در این مطالعه، اکسید مس به عنوان یک جاذب خوب و ارزان برای حذف رنگ‌های اریتروزین و کارموزین قرمز از چنان‌ین محلول آبی با موفقیت معرفی و مورد استفاده قرار گرفته است. تأثیر پارامترهای مختلف مانند pH، غلظت رنگ، مقدار جاذب، زمان تماس و دما بر فرآیند حذف بررسی شد. داده‌های هم‌دمای جذب را می‌توان با مدل‌های ایزوترم لانگمویر و فروندلیچ تفسیر کرد. مقادیر  $K$  بالاتر از  $43/103$  و  $10/162$  میلی‌گرم در لیتر برای اریتروزین و کارموزین قرمز نشان می‌دهد که اکسید مس در مقایسه با سایر جاذب‌ها میل ترکیبی بیشتری برای رنگ‌ها دارد.

**واژه‌های کلیدی:** نانو اکسید مس، اریتروزین، کارموزین قرمز، جذب.

تاریخ دریافت: ۱۴۰۰/۱۱/۰۲

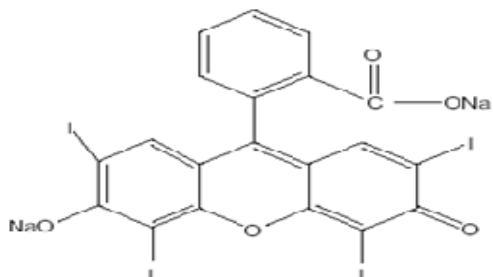
تاریخ پذیرش: ۱۴۰۱/۰۲/۱۴

نویسنده مسئول: محمد کاظم محمدی

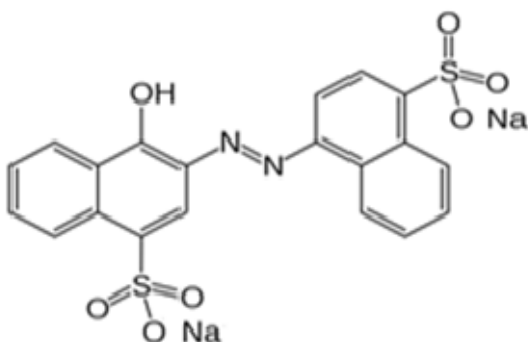
نشانی: اهواز، مرکز تحقیقات مهندسی سطح پیشرفته و نانومواد، گروه شیمی، واحد اهواز، دانشگاه آزاد اسلامی

پست الکترونیکی: mkmohamadi@gmail.com

قابل تولید هستند، کاربرد صنعتی گسترهای پیدا کرده‌اند. مصرف روزانه انبوه رنگ‌های مصنوعی توسط انسان، علاقه به یافتن خواص سمی آنها را افزایش داده است. در قرن حاضر، مشخص شده است که برخی از این رنگ‌ها می‌توانند برای سلامتی افراد مضر باشند و در برخی موارد حتی می‌توانند بسته به مقدار دریافت شده، منجر به سرطان و تولید نوزادان با جهش ژنتیکی شود<sup>[۷، ۸]</sup>. این یافته‌ها علاقه به توسعه روش‌های کمی دقیق و مورد اطمینان برای تعیین این رنگ‌های مصنوعی و متابولیت‌های مشتق شده در تولید محصولات غذایی و نوشیدنی‌ها را افزایش داده است. تاکنون موارد زیادی در مورد استفاده از ترکیبات نانو ساختار برای حذف آلاینده‌های رنگی از محلول‌های آبی مانند استفاده از نانو منگنز اکسید<sup>[۹]</sup>، نانو بتونیت<sup>[۱۰]</sup>، نانو آهن اکسید (Fe<sub>3</sub>O<sub>4</sub>-TSC)، [۱۱] نانو کیتوسان<sup>[۱۲]</sup> گزارش شده است. نانو اکسیدهای فلزی به دلیل داشتن مساحت سطح بالا، کاربردهای بالقوه‌ای در تصفیه آب دارند. در این تحقیق، از نانو اکسید مس به عنوان جاذب برای حذف کارموزین قرمز و اریتروزین از آب استفاده گردید.



شکل ۱- ساختار مولکولی اریتروزین



شکل ۲- ساختار مولکولی کارموزین قرمز

## ۱. مقدمه

رنگ‌های حاصل از پساب صنایع نساجی، کاغذ، چرم، مواد غذایی، آرایشی و بهداشتی، پلاستیک و صنایع دارویی، منبع اصلی آلوگی آب هستند<sup>[۱]</sup>. بیش از ۱۰۰۰ نوع رنگ با تولید سالانه بیش از ۱۰۵۷۷ تن در سراسر جهان به صورت تجاری تولید شده که حدود ۵۰ درصد آنها رنگ‌های آزو هستند و ۱۵-۱۰ درصد رنگ‌های تولید شده در سراسر جهان در جریان‌های آب تخلیه یا وارد می‌شوند<sup>[۲]</sup>. این رنگ‌ها نه تنها از نظر زیبایی ناخوشایند هستند، بلکه نفوذ نور را کاهش می‌دهند و مانع فتوستتر در گیاهان آبزی می‌شوند<sup>[۳]</sup> برخی از رنگ‌ها و محصولات تجزیه آنها در آب‌های سطحی بسیار سلطان‌زا گزارش شده‌اند، اما بسیاری از رنگ‌های آلی برای انسان مضر و سمی هستند. به میکرو ارگانیسم‌ها بنابراین حذف مؤثر رنگ از پساب‌های رنگ از نظر زیست‌محیطی مهم است. بیشتر رنگ‌ها مولکول‌های مقاوم هستند که در برابر هضم هوایی مقاوم هستند. آنها همچنین در نور، گرمای و عامل اکسیدکننده پایدار هستند<sup>[۴]</sup>. درمان‌های متعددی مانند تصفیه بیولوژیکی، انعقاد یا لخته سازی، تصفیه ازن، اکسیداسیون شیمیایی، فیلتراسیون غشایی، تخریب فوتوكاتالیستی و جذب، توسعه یافته‌اند. روش‌های جذب نسبتاً ساده، کارکرد آسان، مؤثرتر و کم‌هزینه‌تر از سایر فناوری‌ها هستند<sup>[۵]</sup>. اریتروزین یا اسید قرمز ۵۱ (C<sub>20</sub>H<sub>614</sub>Na<sub>2</sub>O<sub>5</sub>: ۸۷۹/۸۶) یک رنگ مصنوعی محلول در آب است که اغلب به عنوان رنگ خوراکی استفاده می‌شود (شکل ۱). مصرف بیش از حد آن می‌تواند باعث حساسیت به نور شود و بر سطح هورمون تیروئید تأثیر بگذارد و در برخی موارد منجر به پرکاری تیروئید شود. حداکثر سطح مجاز اریتروزین ۲۰۰ میلی‌گرم بر کیلوگرم در برخی مواد غذایی است<sup>[۶]</sup>. کارموزین قرمز یا قرمز اسیدی ۱۴ (C<sub>20</sub>H<sub>12</sub>N<sub>2</sub>Na<sub>2</sub>O<sub>7</sub>S<sub>2</sub>: ۵۰۲/۴۴) رنگ آزو مصنوعی است که به طور تجاری برای اهدافی که غذا پس از تخمیر حرارت می‌یابد استفاده می‌شود (شکل ۲). رنگ‌های آزو مصنوعی به دلیل تولید ارزان و طیف وسیع رنگ‌هایی که در مقایسه با رنگ‌های طبیعی

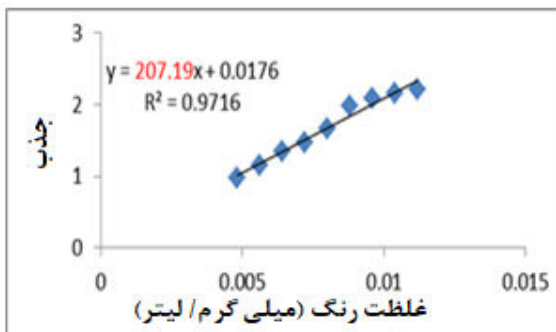
آبی رقیق HCl و یا NaOH (۰/۱۰ مولار تا ۱ مولار) تنظیم شد. در صد حذف اریتروزین و کارموزین قرمز با استفاده از رابطه زیر محاسبه شد.

$$q_e = \frac{(C_0 - C_e) \cdot V}{w} \quad (1)$$

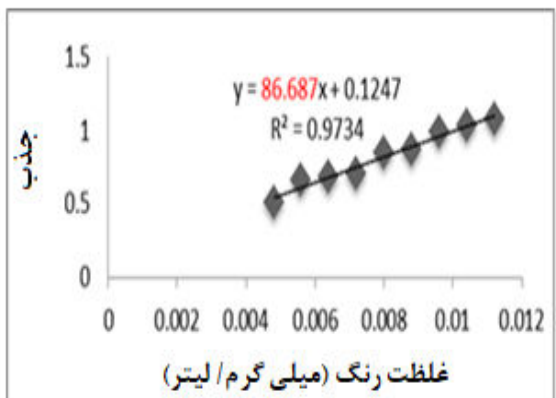
که در آن  $C_0$  و  $C_e$  بحسب میلی‌گرم / لیتر به ترتیب غلظت فاز مایع رنگ در حالت اولیه و تعادل هستند.  $V$  حجم محلول (L) و  $w$  جرم جاذب مورد استفاده بحسب گرم است [۱۴].

### ۳. بحث و نتیجه‌گیری

**۳.۱. کالیبراسیون اریتروزین و کارموزین قرمز**  
به منظور محاسبه غلظت نمونه از هر آزمایش، منحنی کالیبراسیون رنگ‌های اریتروزین و کارموزین قرمز به دست آمد. قانون بیر در غلظت‌های اولیه تجزیه رنگ‌ها رعایت شد؛ بنابراین، غلظت نمونه‌های رنگ را می‌توان از مقادیر حداقل جذب مربوطه محاسبه کرد. منحنی‌های کالیبراسیون در شکل‌های ۳ و ۴ نشان داده شده است.



شکل ۳- منحنی کالیبراسیون کارموزین قرمز



شکل ۴- منحنی کالیبراسیون اریتروزین

## ۲. مواد و روش‌ها

### ۲.۱. جاذب‌ها

در این مطالعه از نانو مس اکسید CuO به عنوان جاذب برای حذف رنگ اریتروزین و کارموزین قرمز از پساب نساجی در مقیاس آزمایشگاهی استفاده شد.

### ۲.۲. رنگ

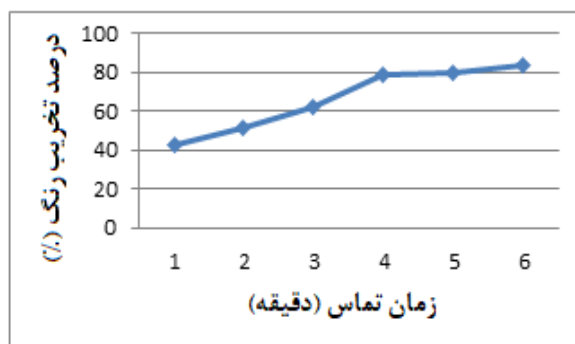
رنگ قرمز کارموزین و اریتروزین تجاری از شرکت شیمیایی الدریچ (سنتر لوییس، مو ایالات متحده آمریکا) تهیه و بدون خالص‌سازی بیشتر مورد استفاده قرار گرفت. محلولی از آزو رنگ کارموزین و اریتروزین در آب دیونیزه تهیه شد. سایر مواد شیمیایی همگی دارای درجه تجزیه‌ای از شرکت مرک بودند. برای تهیه کلیه محلول‌ها از آب مقطر دیونیزه استفاده شد. تنظیم pH با استفاده از محلول‌های رقیق اسید هیدروکلریک و هیدروکسید سدیم انجام شد [۱۳]. اندازه‌گیری اسیدیته محلول توسط یک pH متر مدل Metrohm-827 (انجام شد. فرآیند هم زدن محلول‌های مخلوط جاذب و رنگ با استفاده از همزن model-Orbital UV) و همچنین رنگ‌ها توسط دستگاه اطیف سنج نوری-Vis دو پرتویی مدل UV mini 1240 تعیین شد.

### ۲.۳. جذب

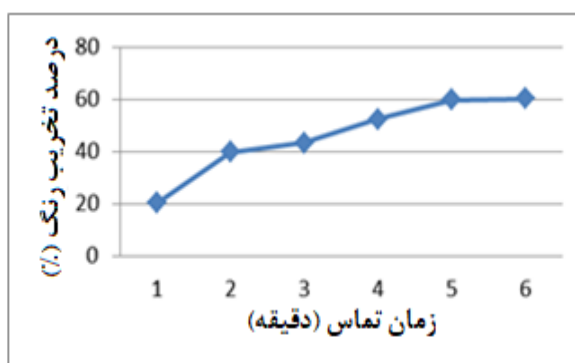
تأثیر متغیرهایی مانند pH، مقدار جاذب، زمان تماس، غلظت اولیه رنگ و دما بر حذف جذبی اریتروزین و کارموزین قرمز مورد بررسی قرار گرفت. در هر آزمایش جذب، ۱۵۰ میلی لیتر محلول رنگی با غلظت و pH مشخص به ۷۰۰ میلی‌گرم جاذب در دمای ثابت کنترل شده اضافه شد. سپس محلول‌ها در سانتریفیوژ با دور ۴۰۰۰ به مدت ۱۰ دقیقه هم زده شدند. هر ۱۵ یا ۳۰ دقیقه نمونه‌ها از همزن خارج می‌شد و جاذب با سانتریفیوژ با دور ۴۰۰۰ به مدت ۶ بار از محلول جدا شدند. به منظور تعیین غلظت باقیمانده رنگ، مقدار جذب محلول رویی قبل و بعد از فرایند، با طیف سنج نوری اندازه‌گیری شد. داده‌های تجزیه به دست آمده در زمان‌ها، دمایا و غلظت‌های مختلف به مدل‌های مختلف مورد بررسی قرار گرفت تا پارامترهای ایزوترم فرآیند جذب در مقادیر بهینه همه متغیرها محاسبه شود. pH با افزودن محلول‌های

### ۳. تأثیر زمان تماس

تشخیص زمان تماس تعادلی برای طراحی فرآیند جذب ضروری است و جذب سریع از جمله پارامترهای مطلوب است. نتایج اثر زمان تماس بر حذف رنگ‌های اریتروزین و کارموزین قرمز در غلظت‌های مختلف در شکل‌های ۷ و ۸ نشان داده شده است. بر اساس نتایج، با افزایش زمان تماس، راندمان حذف رنگ نیز افزایش می‌یابد. در دقایق اولیه آزمایش، رنگ به سرعت حذف شد و غلظت‌های بالای رنگ در چند دقیقه حذف گردید و سپس حذف رنگ به طور مداوم با افزایش زمان تماس تا  $83/52$  و  $60/2$  درصد در ۹۰ دقیقه برای اریتروزین و کارموزین قرمز افزایش یافت. با توجه به نتایج، ۹۰ دقیقه به عنوان زمان تماس بهینه به دست آمد. در این زمان به دلیل اشباع شدن محلهای جذب روی جاذب، راندمان حذف رنگ تغییری نخواهد داشت [۸].



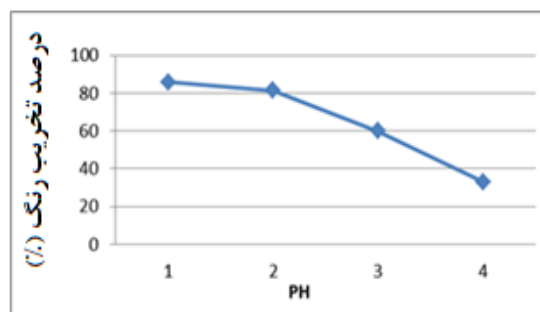
شکل ۷- اثر زمان تماس برای غلظت ppm ۸ اریتروزین.  $pH=4$ ، دمای ۲۵ درجه سانتی گراد، سرعت هم زدن ۱۸۰ دور در دقیقه و ۰/۷۳۳ گرم جاذب در ۱۵۰ میلی لیتر محلول رنگ.



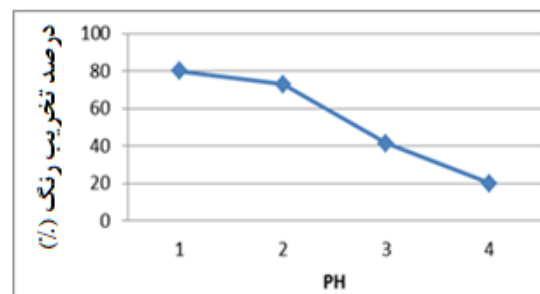
شکل ۸- اثر زمان تماس برای غلظت ppm ۸ کارموزین قرمز.  $pH=4$ ، دمای ۲۵ درجه سانتی گراد، سرعت هم زدن ۱۸۰ دور در دقیقه و ۰/۷۳۳ گرم جاذب در ۱۵۰ میلی لیتر محلول رنگ.

### ۴. اثر pH

به منظور بررسی اثر pH بر جذب رنگ‌های اریتروزین و کارموزین قرمز بر روی نانو اکسید مس CuO، آزمایش‌های در غلظت اولیه رنگ ۸ میلی گرم / لیتر با جرم جاذب ۷۰۰ میلی گرم در ۱۵۰ میلی لیتر در دمای اتاق  $25\pm 1$  درجه سانتی گراد به مدت ۹۰ دقیقه در زمان تعادل انجام شد. نتایج در شکل‌های ۵ و ۶ ارائه شده است.



شکل ۵- تأثیر pH بر حذف اریتروزین در دمای ۲۵ درجه سانتی گراد، سرعت هم زدن ۱۸۰۰ دور در دقیقه، ۰/۷۳۳ گرم جاذب در ۱۰۰ میلی لیتر محلول رنگی ۸ میلی گرم / لیتر

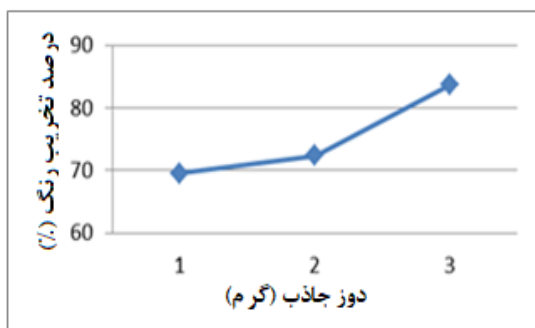


شکل ۶- تأثیر pH بر حذف کارموزین قرمز: دمای ۲۵ درجه سانتی گراد، سرعت هم زدن ۱۸۰ دور در دقیقه ۰/۷۳۳ گرم جاذب در ۱۵۰ میلی لیتر محلول رنگی ۸ میلی گرم / لیتر.

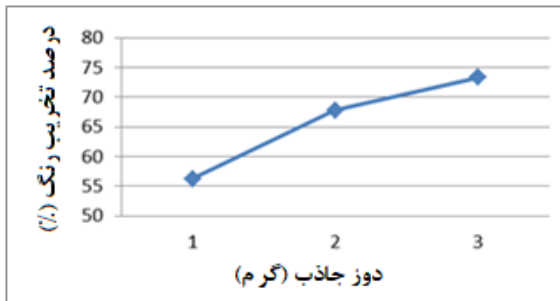
اثر pH در محدوده ۱۲-۴ بر حذف کارموزین قرمز و اریتروزین با استفاده از محلول‌های  $0.1$  مول / لیتر HCl یا  $NaOH$  برای تنظیم pH، با غلظت اولیه رنگ‌ها در محلول ۸ میلی گرم بر لیتر بررسی شد. همان‌طور که شکل‌های ۵ و ۶ نشان می‌دهد، درصد جذب با کاهش pH افزایش یافته و در  $pH=4$  به حداقل می‌رسد و سپس در pH های بالاتر کاهش می‌یابد. در pH های بالاتر، مکانهای سطح جاذب با بار منفی بالا به دلیل دافعه الکترواستاتیکی، به نفع جذب نمونه پرتون زدایی شده نیست [۱۵-۱۸].

### ۳.۵. تأثیر غلظت جاذب بر حذف رنگ

جذب رنگ روی جاذب با تغییر مقدار جاذب (۰/۵، ۰/۷ و ۰/۹ گرم در ۱۰۰ میلی لیتر) در محلول آزمایش با حفظ غلظت اولیه رنگ (۸ میلی گرم در لیتر)، دما ( $25\pm 1$ ) درجه سانتی گراد و  $pH=4$  مورد بررسی قرار گرفت. آزمایش‌ها در زمان‌های مختلف تماس به مدت ۹۰ دقیقه انجام شد. همان‌طور که در شکل‌های ۱۱ و ۱۲ نشان داده شده است، با افزایش غلظت جاذب، درصد جذب افزایش یافته و زمان تعادل کاهش می‌یابد. با افزایش غلظت نانو اکسید مس  $CuO$  از ۰/۵ گرم به ۰/۹ گرم در ۱۰۰ میلی لیتر، جذب از  $69/47$  به  $83/6$ ٪ و  $56/22$  به  $73/27$ ٪ برای اریتروزین و قرمز کارموئین در زمان تعادل (۹۰ دقیقه) به ترتیب افزایش یافت. افزایش در جذب با غلظت جاذب را می‌توان به افزایش سطح جاذب و در دسترس بودن مکان‌های جذب بیشتر نسبت داد.



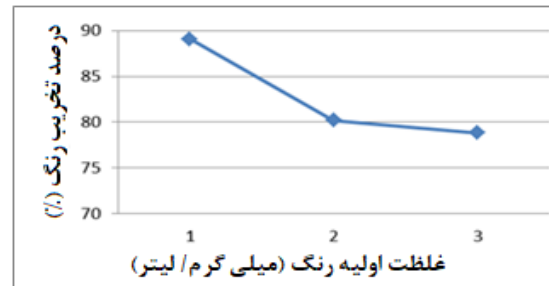
شکل ۱۱- اثر غلظت‌های مختلف اکسید مس  $4$  درجه سانتی گراد، سرعت هم زدن  $180$  دور در دقیقه و غلظت اولیه رنگ  $8$  میلی گرم / لیتر در  $150$  میلی لیتر محلول رنگی اریتروزین.



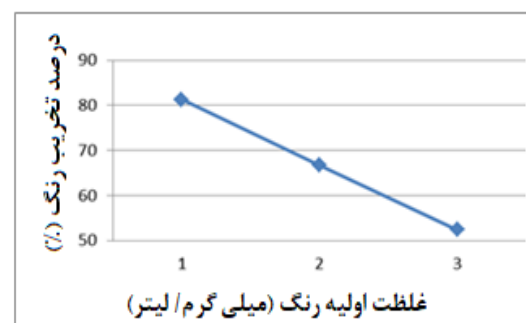
شکل ۱۲- اثر غلظت‌های مختلف اکسید مس در  $4$  درجه سانتی گراد، سرعت هم زدن  $180$  دور در دقیقه و غلظت اولیه رنگ  $8$  میلی گرم / لیتر در  $150$  میلی لیتر محلول رنگ کارموزین قرمز.

### ۳.۶. تأثیر غلظت‌های مختلف بر حذف رنگ

شرایط تعادل در  $90$  دقیقه برای غلظت‌های  $4$ ،  $8$  و  $12$  میلی گرم در لیتر رنگ حاصل شد. اثر غلظت اولیه رنگ بر توانایی نانو اکسید مس  $CuO$  در جذب رنگ از محلول نشان داد که درصد حذف رنگ اریتروزین و کارموزین قرمز با افزایش غلظت اولیه رنگ کاهش می‌یابد. در مطالعه حاضر، آزمایش‌های جذب برای بررسی اثر غلظت اولیه رنگ با تغییر آن از  $4$  تا  $12$  میلی گرم در لیتر، با حفظ مقدار  $0/733$  گرم نانو اکسید مس  $CuO$  انجام شده و نتایج به دست آمده در شکل  $9$  و  $10$  ارائه شده است. نتایج نشان داد که با افزایش غلظت رنگ از  $4$  به  $12$  میلی گرم در لیتر، راندمان حذف از  $89/1$  درصد به  $78/84$  درصد کاهش می‌یابد؛ و  $81/33$ ٪ تا  $52/4$ ٪ برای اریتروزین و کارموزین قرمز به ترتیب. کاهش راندمان حذف را می‌توان با این واقعیت توضیح داد که همه جاذب‌ها دارای تعداد محدودی مکان‌های فعال بودند که بیش از یک غلظت معین اشباع می‌شدند [۱۳].



شکل ۹- اثر غلظت‌های مختلف اریتروزین  $4$  درجه سانتی گراد، سرعت هم زدن  $180$  دور در دقیقه و  $0/733$  گرم جاذب در  $150$  میلی لیتر محلول رنگ.



شکل ۱۰- اثر غلظت‌های مختلف کارموزین قرمز  $4$  درجه سانتی گراد، سرعت هم زدن  $180$  دور در دقیقه و  $0/733$  گرم جاذب در  $150$  میلی لیتر محلول رنگی.

### ۳.۷.۱. ایزوترم لانگمویر

تئوری لانگمویر فرض می‌کند که جذب محدود به تشکیل پوشش تک لایه‌ای بر روی سطح جاذب همگن است. معادله خطی لانگمویر در زیر آورده شده است:

$$\frac{C_e}{q_e} = \frac{1}{K_a} V_m + C_e/V_m \quad (2)$$

جایی که  $q_e$  مقدار جذب شده در هر جرم جاذب برحسب میلی‌گرم/گرم،  $C_e$  غلظت محلول رنگ در حالت تعادل  $V_m$  برحسب میلی‌گرم/لیتر،  $K_a$  و  $V_m$  ثابت لانگمویر هستند.  $V_m$  و  $K_a$  به ترتیب ثابت لانگمویر مربوط به ظرفیت و انرژی جذب هستند. مقادیر  $V_m$  و  $K_a$  نشان داده شده در جدول (۲) از شیب‌ها و بریدگی‌های نمودار (شکل‌های ۱۵ و ۱۶) تعیین شدند. ویژگی‌های اساسی ایزوترم لانگمویر را می‌توان با یک ثابت بدون بعد به نام پارامتر تعادلی  $RL$  بیان کرد که با معادله زیر تعریف می‌شود.

$$RL = 1/(1 + K_a C_0) \quad (3)$$

$RL$  شکل ایزوترم و مطلوب بودن یا نبودن آن را طبق معیارهای زیر نشان می‌دهد

جدول ۱-۱ شکل ایزوترم

| مقادیر $RL$  | جذب         |
|--------------|-------------|
| $RL > 1$     | نامطلوب     |
| $RL = 1$     | خطی         |
| $0 < RL < 1$ | مطلوب       |
| $RL = 0$     | تغییرناپذیر |

مقدار ضریب همبستگی  $R^2 = 0.9998$  و  $R^2 = 0.8474$  برای اریتروزین و کارموزین به دست آمده از توصیف لانگمویر نشان می‌دهد که از معادله لانگمویر خطی پیروی می‌کند [۲۴-۲۶].

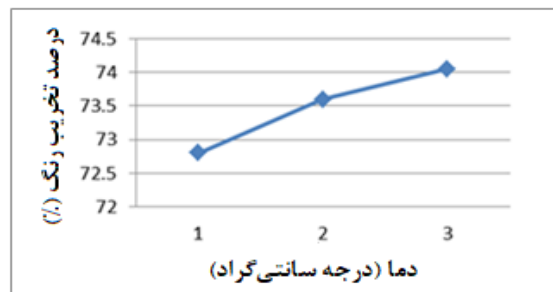
### ۳.۷.۲. ایزوترم فرونالیچ

مدل فرونالیچ بر این فرض استوار است که جذب چندلایه بر روی سطح جاذب ناهمگنی که دارای مکان‌های غیر برابر در دسترس با انرژی‌های جذب مختلف است، رخ می‌دهد. شکل خطی عبارت فرونالیچ ثابت‌های  $K$  و  $n$  را به دست می‌دهد از این‌رو:

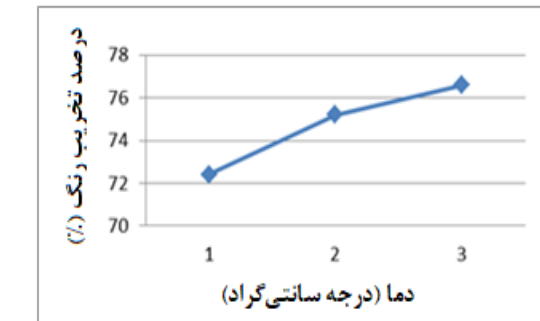
$$\log q_e = \log K + \frac{1}{n} \log C_e \quad (4)$$

### ۶. تأثیر دما بر حذف رنگ

برای بررسی اثر دما، آزمایش‌ها برای جاذب در دمای ۲۰ تا ۴۰ درجه سانتی‌گراد انجام شد. مشاهده شد که نانو اکسید مس  $CuO$  ۷۲/۸ تا ۷۴/۰ درصد اریتروزین را حذف کرد، اما در مورد کارموزین قرمز، حذف رنگ ۷۶/۵۹ تا ۷۶/۴ درصد بود. نتیجه در شکل ۱۳ و ۱۴ نشان داده شده است. تمام آزمایش‌ها به مدت ۹۰ دقیقه انجام شد. تعادل در دمای ۴۰ درجه سانتی‌گراد برای هر دورنگ هنگام کار با جاذب نانو مس اکسید مس  $CuO$  به دست آمد.



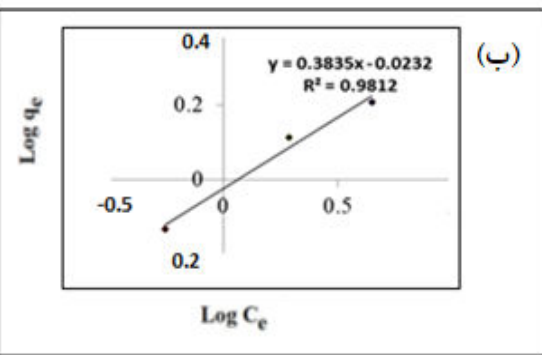
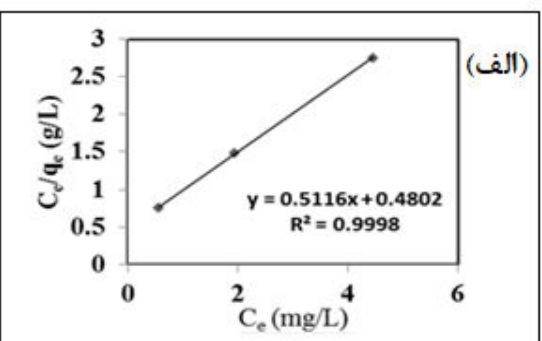
شکل ۱۳- اثر دمای مختلف بر حذف اریتروزین با  $pH = 4$  درجه سانتی‌گراد، سرعت هم زدن ۱۸۰ دور در دقیقه و غلظت اولیه رنگ ۸ میلی‌گرم / لیتر در ۱۵۰ میلی‌لیتر محلول رنگ.



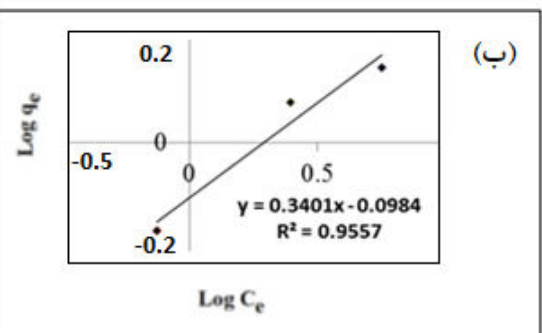
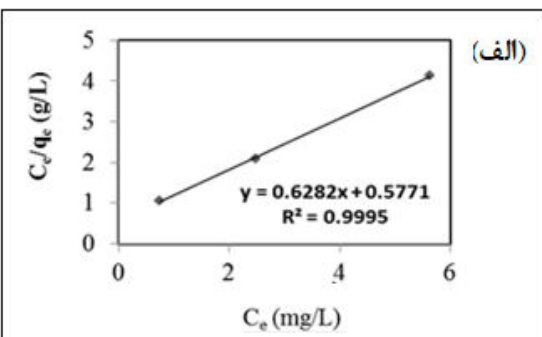
شکل ۱۴. اثر دمای مختلف بر حذف کارموزین قرمز  $pH = 4$  درجه سانتی‌گراد، سرعت هم زدن ۱۸۰ دور در دقیقه و غلظت اولیه رنگ ۸ میلی‌گرم / لیتر در ۱۵۰ میلی‌لیتر محلول رنگ.

### ۳.۷.۳. ایزوترم جذب

مطالعه داده‌های ایزوترم برای کشف ظرفیت جذب جاذب‌های مختلف مهم است. به منظور بررسی ایزوترم جذب، دو ایزوترم تعادلی مورد تجزیه و تحلیل قرار گرفت: ایزوترم‌های لانگمویر و فرونالیچ برای مطالعه داده‌های تجربی در مطالعات جذب برای درک میزان و درجه مطلوبیت جذب استفاده می‌شوند.



شکل ۱۵- نمودار ایزوترم لانگمویر (الف) و فروندلیچ (ب) برای جذب رنگ اریتروزین.



شکل ۱۶- نمودار ایزوترم لانگمویر (الف) و فروندلیچ (ب) برای جذب رنگ کارموزین قرمز.

#### ۴. نتیجه‌گیری

جذب نانو اکسید مس  $\text{CuO}$  با ویژگی‌های خاصی مانند در دسترس بودن، ارزان بودن و مساحت سطح زیاد، برای حذف رنگ‌هایی مانند اریتروزین و کارموزین قرمز از محلول آبی

جایی که مقدار جذب شده در هر جرم جاذب برحسب میلی‌گرم / گرم،  $C_e$  غلظت محلول رنگ در حالت تعادل برحسب میلی‌گرم / لیتر،  $K_f$  و  $1/n$  ثابت‌های فروندلیچ هستند که به ظرفیت جذب و شدت جذب مربوط می‌شوند. به ترتیب جاذب مقادیر  $K_f$  و  $1/n$  به ترتیب از بریدگی و شبی محاسبه شده در جدول (۱) آورده شده است. مقدار  $n$  بزرگ‌تر از  $2/۹۰۷۵$  و  $n=2/۹۴۰$  است که نشان می‌دهد هر دورنگ به خوبی جذب می‌شوند. این نتیجه با یافته‌های مربوط به مقدار  $R_L$  مطابقت زیادی دارد [۲۱].

جدول ۲- معادلات و نتایج محاسبات ایزوترم ها

| ایزوترم  | پارامتر      | مقدار اریتروزین | مقدار کارموزین |
|----------|--------------|-----------------|----------------|
| لانگمویر | $R_L$        | ۹۹۹۸/۰          | ۰/۹۹۹۵         |
|          | $b$ (L/mg)   | ۱/۰۶۰۵۴         | ۰/۰۲۴۱۵        |
|          | $V_m$ (mg/g) | ۱/۹۵۴۶          | ۱/۰۹۱۸         |
|          | $R^2$        | ۰/۲۹۱۴۹         | ۰/۰۶۶۸         |
| فروندلیچ | $R_L$        | ۰/۹۸۱۲          | ۰/۹۵۵۷         |
|          | $K_f$ (mg/g) | ۴۳/۱۰۳          | ۱۰/۱۶۲         |
|          | $n$          | ۲/۹۰۷۵          | ۲/۹۴۰          |

مقادیر  $K$  بالاتر از  $۴۳/۱۰۳$  و  $۱۰/۱۶۲$  میلی‌گرم در لیتر برای اریتروزین و کارموزین قرمز نشان می‌دهد که اکسید مس در مقایسه با سایر جاذب‌ها میل ترکیبی بیشتری برای رنگ‌ها دارد. مقدار کمیت جذب  $n$  برابر  $2/۹۰۷۵$  و  $2/۹۴۰$  برای اریتروزین و کارموزین است، مشاهده می‌شود که جذب نانو اکسید مس  $\text{CuO}$ ، ناهمگن است، یعنی  $1 < n < 10$ . از جدول ۱، مقدار  $b$  بالاتر از  $۱/۰۶۰۵۴$  نشان می‌دهد که به نظر می‌رسد مقدار اریتروزین در واحد وزن اکسید مس به طور قابل توجهی بیشتر از کارموزین قرمز است. با این حال، ضریب همبستگی برای ایزوترم فروندلیچ بالاتر از لانگمویر است که احتمالاً جذب چندلایه بیشتر از جذب تک لایه را نشان می‌دهد.

- equilibrium, and thermodynamic *Chemical Biochemical Engineering Quarterly*. **21** (2007) 219.
- [18] C. Ng, J. N. Losso, W. E. Marshall, R. M. Rao Freundlich adsorption isotherms of agricultural by-product-based powdered activated carbons in a geosmin-water system *Bioresource technology*. **85** (2002) 131.
- [19] C. Namasivayam, D. Arasi Removal of congo red from wastewater by adsorption onto waste red mud *Chemosphere*. **34** (1997) 401.
- [20] X.-j. Hu, J.-s. Wang, Y.-g. Liu, X. Li, G.-m. Zeng, Z.-l. Bao, et al. Adsorption of chromium (VI) by ethylenediamine-modified cross-linked magnetic chitosan resin: isotherms, kinetics and thermodynamics *Journal of hazardous materials*. **185** (2011) 306.
- [21] H. Tang, C. Chang, L. Zhang Efficient adsorption of  $Hg^{2+}$  ions on chitin/cellulose composite membranes prepared via environmentally friendly pathway *Chemical Engineering Journal*. **173** (2011) 689.
- [22] B. Samiey, A. R. Toosi Adsorption of malachite green on silica gel: Effects of NaCl, pH and 2-propanol *Journal of hazardous materials*. **184** (2010) 739.
- [23] X. Bai, Z.-f. Ye, Y.-f. Li, L.-c. Zhou, L.-q. Yang Preparation of crosslinked macroporous PVA foam carrier for immobilization of microorganisms *Process Biochemistry*. **45** (2010) 60.
- [24] L. Jin, R. Bai Mechanisms of lead adsorption on chitosan/PVA hydrogel beads *Langmuir*. **18** (2002) 9765.

آن استفاده می‌شود. داده‌های تجربی مطابق با ایزو ترم‌های جذب فروندلیج بود. نتایج نشان می‌دهد که جاذب به کار رفته پتانسیل قابل توجهی به عنوان جاذب برای حذف رنگ دارد. مقادیر K بالاتر از  $43/10^3$  و  $10/162$  میلی‌گرم در لیتر برای اریتروزین و کارموزین قرمز نشان می‌دهد که اکسید مس در مقایسه با سایر جاذب‌ها میل ترکیبی بیشتری برای رنگ‌ها دارد.

## مرجع‌ها

- P. J. W. S. Grau, Technology Textile industry wastewaters treatment. **24** (1991) 97.
- T. A. Gad-Allah, S. Kato, S. Satokawa, T. Kojima Treatment of synthetic dyes wastewater utilizing a magnetically separable photocatalyst ( $TiO_2/SiO_2/Fe_3O_4$ ): parametric and kinetic studies *Desalination*. **244** (2009) 1.
- Y. Bulut, N. Gözübenli, H. Aydin Equilibrium and kinetics studies for adsorption of direct blue 71 from aqueous solution by wheat shells *Journal of hazardous materials*. **144** (2007) 300.
- G. Z. Kyzas, N. K. J. J. o. C. Lazaridis, I. Science Reactive and basic dyes removal by sorption onto chitosan derivatives. **331** (2009) 32.
- V. Poots, G. McKay The specific surfaces of peat and wood *Journal of Applied Polymer Science*. **23** (1979) 1117.
- Y. S. Al-Degs, R. Abu-El-Halawa, S. S. Abu-Alrub Analyzing adsorption data of erythrosine dye using principal component analysis *Chemical engineering journal*. **191** (2012) 185.
- T. Ma, G. Yang. New Edition Handbook of Food Additives. Beijing Chinese Agriculture Publishing Press; 1989.
- H. Tsuji, F. Yagi, H. Hattori, H. J. J. o. C. Kita Self-condensation of n-butyraldehyde over solid base catalysts *Journal of Catalysis*. **148** (1994) 759.
- M. A. Islam, I. Ali, S. A. Karim, M. S. H. Firoz, A.-N. Chowdhury, D. W. Morton, et al. Removal of dye from polluted water using novel nano manganese oxide-based materials *Journal of Water Process Engineering*. **32** (2019) 100911.
- A. S. Mahmoud Effect of nano bentonite on direct yellow 50 dye removal; Adsorption isotherm, kinetic analysis, and thermodynamic behavior *Progress in Reaction Kinetics Mechanism*. **47** (2022) 14686783221090377.
- A. A. Alqadami, M. Naushad, M. A. Abdalla, M. R. Khan, Z. A. Alothman Adsorptive removal of toxic dye using  $Fe_3O_4$ -TSC nanocomposite: equilibrium, kinetic, and thermodynamic studies *Journal of Chemical Engineering Data*. **61** (2016) 3806.
- H. Rezaei, A. Razavi, A. Shahbazi Removal of Congo red from aqueous solutions using nano-chitosan *Environmental Resources Research*. **5** (2017) 25.
- B. Van der Bruggen, C. Vandecasteele Removal of pollutants from surface water and groundwater by nanofiltration: overview of possible applications in the drinking water industry *Environmental pollution*. **122** (2003) 435.
- P. C. Singer Humic substances as precursors for potentially harmful disinfection by-products *Water Science Technology*. **40** (1999) 25.
- D. B. Mosqueda-Jimenez, P. M. Huck Effect of biofiltration as pretreatment on the fouling of nanofiltration membranes *Desalination*. **245** (2009) 60.
- F. Gottschalk, T. Sonderer, R. W. Scholz, B. Nowack Modeled environmental concentrations of engineered nanomaterials ( $TiO_2$ ,  $ZnO$ , Ag, CNT, fullerenes) for different regions *Environmental science technology*. **43** (2009) 9216.
- R. Rajoriya, B. Prasad, I. Mishra, K. Wasewar Adsorption of benzaldehyde on granular activated carbon: kinetics,